

М. В. Довжик

РАЗРУШЕНИЕ ПОЛУОГРАНИЧЕННОГО КОМПОЗИТНОГО
МАТЕРИАЛА С БЛИЗКОРАСПОЛОЖЕННОЙ ПРИПОВЕРХНОСТНОЙ
ДИСКООБРАЗНОЙ ТРЕЩИНОЙ ПРИ СЖАТИИ

*Институт механики им. С.П.Тимошенко НАН Украины,
ул. Нестерова 3, 03054 Киев, Украина; e-mail: medved_mik@ukr.net*

Abstract. In this work investigation of nonclassical problem of fracture mechanics for near-surface crack in case of small distances between a free surface and a crack size are studied. An axisymmetrical problem for the penny-shaped crack is considered. A numerical study for the composite materials is carried out.

Keywords: near-surface crack, compression along a fraction, critical stress, composite material.

Введение.

При воздействии на тело, содержащее плоскую трещину, усилий параллельных плоскости трещины, критерии разрушения типа Ирвина – Гриффитса неприменимы, так как получаемые в линейной механике разрушения коэффициенты интенсивности напряжений равны нулю. В случае растяжения – сжатия материала вдоль плоскости трещины применяется подход, впервые предложенный в работе [1]. В качестве критерия разрушения используется критерий локальной потери устойчивости материала в окрестностях трещины в рамках трехмерной линеаризованной теории упругой устойчивости. Согласно этому подходу, процесс разрушения инициируется моментом локальной потери устойчивости материала вблизи трещин, а критические параметры сжатия определяются из решения соответствующих задач на собственные значения в рамках трехмерной линеаризованной теории устойчивости деформируемых тел.

В обзорах [9 – 14] и монографиях [2 – 4] достаточно подробно представлена информация о разрушении материалов при сжатии вдоль плоскости трещин для различных схем размещения взаимодействующих трещин. Отметим, что в [9] впервые дан

обстоятельный анализ подходов к вопросам разрушения материалов вдоль трещин с подробной библиографией.

Для приповерхностной круговой трещины (рис. 1), в работах [5, 7, 13, 14] для композитных и упругих высокоэластичных материалов представлены зависимости между критическим укорочением-напряжением и расстоянием от свободной поверхности до плоскости трещины.

Отдельный интерес представляет случай, когда расстояние между свободной поверхностью и плоскости трещины стремится к нулю. Этот случай

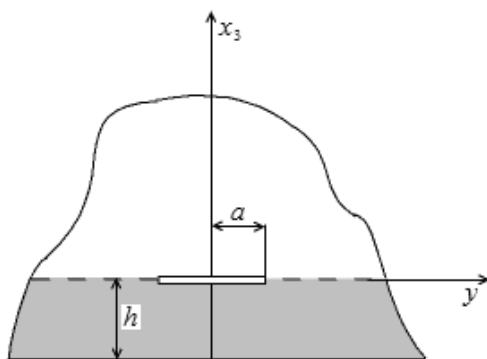


Рис. 1

детально исследован для упругих высокоэластичных эластичных материалов [5, 7], но не исследован для композитных материалов. Однако этот вопрос интересен как с теоретической, так и с практической точек зрения при расчетах тонких прослоек, образовавшихся в результате напыления, теплового удара и др.

В данной работе используя численно-аналитическую методику, предложенную в [7], проведено исследование задачи разрушения композитного полупространства при сжатии вдоль дискообразной приповерхностной трещиной для малых расстояний между свободной поверхностью и трещиной.

1. Постановка и обобщенное решение задачи.

Рассмотрим дискообразную трещину радиуса a в полупространстве $x_3 \geq -h$, размещенную в плоскости $x_3 = 0$ с центром на оси Ox_3 . Действующие вдоль трещины начальные напряжения соответствуют двухосному растяжению – сжатию [14]:

$$S_{33}^0 = 0; S_{11}^0 = S_{22}^0 \neq 0; u_m^0 = \delta_{jm}(\lambda_j - 1)x_j; \lambda_1 = \lambda_2 \neq \lambda_3; \lambda_j = \text{const},$$

где λ_j – удлинение вдоль осей; x_j – лагранжевы координаты, совпадающие в недеформированном состоянии с декартовыми; S_{ij}^0 – компоненты симметричного тензора напряжений; u_j^0 – соответствующие начальным напряжениям S_{ij}^0 перемещения.

Для осесимметричной линеаризованной задачи, выполняются следующие граничные условия: на берегах трещины $x_3 = \pm 0$ и на свободной поверхности $x_3 = -h$ [14]:

$$t_{33} = 0, x_3 = \pm 0, 0 \leq r < a; t_{3r} = 0, x_3 = \pm 0, 0 \leq r < a;$$

$$t_{33} = 0, x_3 = -h, 0 \leq r < \infty; t_{3r} = 0, x_3 = -h, 0 \leq r < \infty,$$

где t_{ij} – несимметричный тензор напряжений Кирхгофа; (r, θ, x_3) – цилиндрические координаты соответствующие декартовым координатам x_j .

В случае тела с макротрещиной, когда размеры трещины значительно больше размеров микроструктур, композит рассматривается в виде анизотропной среды с наведенными макрохарактеристиками [14].

Используя методику, примененную в работе [14], задача сводится к решению системы интегральных уравнений Фредгольма с дополнительным условием

$$f(\xi) + \frac{1}{\pi k} \int_0^1 M_1(\xi, \eta) f(\eta) d\eta - \frac{2}{\pi k} \int_0^1 N_1(\xi, \eta) g(\eta) d\eta = 0;$$

$$g(\xi) + \frac{1}{\pi k} \int_0^1 M_2(\xi, \eta) g(\eta) d\eta - \frac{2}{\pi k} \int_0^1 N_2(\xi, \eta) f(\eta) d\eta + \tilde{C}_1 = 0; \quad (1)$$

$$\int_0^1 g(\xi) d\xi = 0 \quad (0 \leq \xi \leq 1, 0 \leq \eta \leq 1); f(\xi) \equiv \varphi(a\xi); g(\xi) \equiv \psi(a\xi).$$

Все величины, входящие в уравнения (1), безразмерные; \tilde{C}_1 – неизвестная константа, связанная с дополнительным условием.

Ядра интегральных уравнений (1) определяются формулами:

$$M_1(\xi, \eta) = R_1(\eta + \xi) - R_1(1 + \xi) + R_1(\eta - \xi) - R_1(1 - \xi);$$

$$N_1(\xi, \eta) = S_1(\eta + \xi) + S_1(\eta - \xi); M_2(\xi, \eta) = S_2(\eta + \xi) + S_2(\eta - \xi);$$

$$N_2(\xi, \eta) = R_2(\eta + \xi) - R_2(1 + \xi) + R_2(\eta - \xi) - R_2(1 - \xi);$$

$$\begin{aligned}
R_1(\zeta) &= 2 \left\{ 2 \frac{k_2}{k} I_0(\beta_1 + \beta_2, \zeta) - \frac{1}{2} \frac{(k_1 + k_2)}{k} \left[\frac{k_2}{k_1} I_0(2\beta_2, \zeta) + I_0(2\beta_1, \zeta) \right] \right\}; \\
S_1(\zeta) &= \frac{(k_1 + k_2)}{k} \left\{ I_1(\beta_1 + \beta_2, \zeta) - \frac{1}{2} [I_1(2\beta_1, \zeta) + I_1(2\beta_2, \zeta)] \right\}; \\
S_2(\zeta) &= 2 \left\{ 2 \frac{k_1}{k_2} I_0(\beta_1 + \beta_2, \zeta) - \frac{1}{2} \frac{(k_1 + k_2)}{k} \left[\frac{k_1}{k_2} I_0(2\beta_2, \zeta) + I_0(2\beta_1, \zeta) \right] \right\}; \quad (2) \\
R_2(\zeta) &= \frac{(k_1 + k_2)}{k} \left\{ I_{-1}(\beta_1 + \beta_2, \zeta) - \frac{1}{2} [I_{-1}(2\beta_1, \zeta) + I_{-1}(2\beta_2, \zeta)] \right\}; \\
I_0(\rho, \zeta) &= \rho(\zeta^2 + \rho^2)^{-1}; \quad I_{-1}(\rho, \zeta) = -\frac{1}{2\beta} \log(\zeta^2 + \rho^2); \\
I_1(\rho, \zeta) &= \beta(\rho^2 - \zeta^2)(\zeta^2 + \rho^2)^{-2}; \quad \beta = ha^{-1}, \quad \beta_i = \beta(n_i^0)^{-1/2}, \quad i = 1, 2.
\end{aligned}$$

2. Методика исследования.

Для вычисления зависимости между критическими укорочениями-удлинениями (напряжениями) и безразмерным расстоянием между свободной поверхностью и плоскостью трещины β из интегральных уравнений (1), использовалась процедура, построенная на методе Бубнова – Галеркина. В качестве системы координатных функций использовались степенные функции. Для N координатных функций имеем формулы

$$f(x) = \sum_{i=0}^N F_i x^i; \quad g(x) = \sum_{i=0}^N G_i x^i. \quad (3)$$

В отличие от предыдущих работ [13, 14], где после подстановки координатных функций (3) в систему (1) при дальнейшем исследовании проводилось численное интегрирование системы, применена методика, предложенная в [7], позволившая получить новые результаты для высокоэластичных материалов [5 – 8]. Это позволило, используя пакет символьных вычислений, аналитически вычислить интегралы от функций (2) входящих в ядра системы (1) для выбранной системы координатных функций. И привело к увеличению точности вычислений за счет исключения погрешности численного интегрирования.

Для ускорения вычислений интегралов был использован алгоритм, основанный на применении рекуррентных соотношений.

$$\begin{aligned}
L(n) &= \int_0^1 \frac{x^n}{(a^2 + (x+y)^2)^2} dx; \\
L(n) &= \frac{1}{n-3} \left(\frac{1}{a^2 + (1+y)^2} - 2y(n-2)L(n-1) - (a^2 + y^2)(n-1)L(n-2) \right) \quad (n \neq 3); \\
V(n) &= \int_0^1 \frac{x^n}{(a^2 + (x-y)^2)^2} dx; \quad (4) \\
V(n) &= \frac{1}{n-3} \left(\frac{1}{a^2 + (1-y)^2} + 2y(n-2)V(n-1) - (a^2 + y^2)(n-1)V(n-2) \right) \quad (n \neq 3).
\end{aligned}$$

Использование рекуррентных соотношений (4) позволяет ускорить аналитическое вычисление интегралов из ядер (2) интегрального уравнения (1).

В результате система интегральных уравнений (1) сводится к решению системы из $2(N+1)+1$ уравнения

$$\sum_{i=0}^N F_i F_{1ji} + \sum_{i=0}^N G_i G_{1ji} = 0; \quad \sum_{i=0}^N F_i F_{2ji} + \sum_{i=0}^N G_i G_{2ji} + \tilde{C}_1 = 0; \quad (5)$$

$$\sum_{i=0}^N \frac{1}{i+1} G_i = 0 \quad (0 \leq j \leq N),$$

где F_{kji} , G_{kji} – точные выражения, вычисленные с использованием символьных вычислений, которые зависят от констант материала и безразмерного расстояния между трещиной и свободной поверхностью.

3. Числовые результаты.

В качестве примера проведено исследование композита с приведенными характеристиками трансверсально-изотропной среды

$$\nu = 0,3; \quad \nu' = 0,2; \quad G' / E = 0,1; \quad E' / E = 0,5. \quad (6)$$

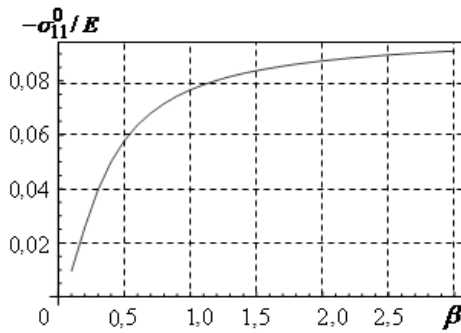


Рис. 2

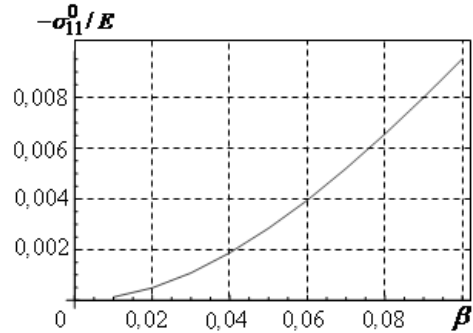


Рис. 3

Подставив (6) в (5), получим систему уравнений, коэффициенты F_{kji} , G_{kji} которой зависят от параметров β и σ_{11}^0 . Численное исследование этой системы позволяет определить наименьшие значения критических напряжений, при которых система теряет устойчивость, для разных значений безразмерного расстояния между трещиной и свободной поверхностью β .

Используя 10 координатных функций, получаем зависимости критических напряжений от безразмерного расстояния $\sigma_{11}^0(\beta)$, представленные на графиках (рис. 2) – для больших расстояний и (рис. 3) – для малых расстояний. Сравнение результатов, полученных для больших значений безразмерных расстояний (рис. 2) с данными, полученными ранее в [14], показывает, что предложенная методика дает хорошую точность, и их результаты полностью совпадают. На рис. 2 получены новые данные, которые не удавалось получить, используя ранее предложенные методы расчета.

В таблице показаны результаты критических напряжений для очень малых безразмерных расстояний. Так же из предположения, что $\sigma_{11}^0 / E = A\beta^2$ в таблице приведено значение коэффициента A .

β	σ_{11}^0 / E	A
$9 \cdot 10^{-2}$	$-7,997 \cdot 10^{-3}$	-0,987
$8 \cdot 10^{-2}$	$-6,553 \cdot 10^{-3}$	-1,024
$7 \cdot 10^{-2}$	$-5,197 \cdot 10^{-3}$	-1,061
$6 \cdot 10^{-2}$	$-3,951 \cdot 10^{-3}$	-1,097
$5 \cdot 10^{-2}$	$-2,834 \cdot 10^{-3}$	-1,134
$4 \cdot 10^{-2}$	$-1,871 \cdot 10^{-3}$	-1,169
$3 \cdot 10^{-2}$	$-1,084 \cdot 10^{-3}$	-1,204
$2 \cdot 10^{-2}$	$-4,947 \cdot 10^{-4}$	-1,237
$1 \cdot 10^{-2}$	$-1,268 \cdot 10^{-4}$	-1,268
$1 \cdot 10^{-3}$	$-1,290 \cdot 10^{-6}$	-1,290
$1 \cdot 10^{-4}$	$-1,287 \cdot 10^{-8}$	-1,287
$1 \cdot 10^{-5}$	$-1,285 \cdot 10^{-10}$	-1,285
$1 \cdot 10^{-6}$	$-1,284 \cdot 10^{-12}$	-1,284
$1 \cdot 10^{-9}$	$-1,284 \cdot 10^{-18}$	-1,284

Заклучение.

В работе впервые проведены исследования критических параметров разрушения полупространства с приповерхностной дискообразной трещиной в композитном материале при сжатии для широкого диапазона расстояний между трещиной и свободной поверхностью. Впервые получены результаты для значений относительного расстояния между трещиной и свободной поверхностью вплоть до $\beta = 10^{-9}$, которые на несколько порядков ниже получаемых ранее.

Из анализа полученных результатов можно определить, что при малых значениях безразмерных расстояний критические напряжения σ_{11}^0 / E имеют квадратичную зависимость от безразмерного расстояния с коэффициентом $A = -1,28$.

Научные исследования, результаты которых опубликованы в данной статье, выполнены за счет средств бюджетной программы «Поддержка приоритетных направлений научных исследований» (КПКВК 6541230).

РЕЗЮМЕ. Проведено дослідження неklasичної проблеми механіки руйнування матеріалу з приповерхневою тріщиною у випадку малих відстаней між вільною поверхнею і площиною тріщини. Розглянуто осесиметричну задачу для кругової тріщини. Для прикладу проведено чисельне дослідження для композитного матеріалу.

1. Гузь А.Н. Об одном критерии разрушения твердых тел при сжатии вдоль трещин. Пространственная задача // Докл. АН СССР. – 1981. – 261, № 1. – С. 42 – 45.
2. Гузь А.Н. Механика хрупкого разрушения материалов с начальными напряжениями. – К.: Наук. думка, 1983. – 296 с.
3. Гузь А.Н. Основы механики разрушения композитов при сжатии: в 2 т. – Т. 1: Разрушение в структуре материала. – К.: Літера, 2008. – 592 с.
4. Гузь А.Н. Основы механики разрушения композитов при сжатии: в 2 т. – Т. 2: Родственные механизмы разрушения. – К.: Літера, 2008. – 736 с.
5. Dovzhik M.V. Fracture of a Half-Space Compressed Along a Penny-Shaped Crack Located at a Short Distance from the Surface // Int. Appl. Mech. – 2012. – 48, N 3. – P. 294 – 304.
6. Dovzhik M.V. Fracture of a Material Compressed Along Two Closely Spaced Penny-Shaped Cracks // Int. Appl. Mech. – 2012. – 48, N 5. – P. 563 – 572.
7. Dovzhik M.V., Guz A.N., Nazarenko V.M. Fracture of a Material Compressed Along a Crack Located at a Short Distance from the Free Surface // Int. Appl. Mech. – 2011. – 47, N 6. – P. 627 – 635.
8. Dovzhik M.V., Nazarenko V.M. Fracture of a Material Compressed Along Two Closely Spaced Penny-Shaped Cracks // Int. Appl. Mech. – 2012. – 48, N 4. – P. 423 – 429.
9. Guz A.N. Establishing the Foundations of the Mechanics of Fracture of Materials Compressed Along Cracks (Review) // Int. Appl. Mech. – 2014. – 50, N 1. – P. 1 – 57.
10. Guz A.N. Nonclassical Problems of Fracture/Failure Mechanics: On the Occasion of the 50th Anniversary of the Research (Review) // Int. Appl. Mech. – 2019. – 55, N 2. – P. 129 – 174.
11. Guz A.N. Nonclassical Problems of Fracture/Failure Mechanics: On the Occasion of the 50th Anniversary of Research (Review) II // Int. Appl. Mech. – 2019. – 55, N 3. – P. 239 – 295.
12. Guz A.N. Nonclassical Problems of Fracture/Failure Mechanics: On the Occasion of the 50th Anniversary of the Research (Review) III // Int. Appl. Mech. – 2019. – 55, N 4. – P. 343 – 415.
13. Guz A.N., Nazarenko V.M. Fracture Mechanics of Material in Compression Along Cracks (review). Highly Elastic Materials // Soviet Appl. Mech. – 1989. – 25, N 9. – P. 851 – 876.
14. Guz A.N., Nazarenko V.M. Fracture Mechanics of Materials under Compression Along Cracks (survey). Structural Materials // Soviet Appl. Mech. – 1989. – 25, N 10. – P. 959 – 972.

Поступила 28.12.2018

Утверждена в печать 05.11.2019